

- [6] Zhang M., Qiang C., Dakun S. et. al.// Solid. State Commun. 1988. V. 65. N 6. P. 487-490.
- [7] Гриднев С.А., Иванов С.Н., Дыбова О.В. Тез. докл. XXVI Всес. совещания по физике низких температур. Секция: Сверхпроводимость. Донецк: ДонФТИ АН УССР, 1990. С. 149-150.
- [8] Дмитриев В.М., Еропкин В.Н., Гуревич А.М. и др. Там же. С.177-178.

Поступило в Редакцию
24 февраля 1991 г.

Письма в ЖТФ, том 17, вып. 8

26 апреля 1991 г.

04

© 1991

О КРИТЕРИИ СТАБИЛИЗАЦИИ ПЛОСКОГО РАЗРЯДА НА ПАДАЮЩЕМ УЧАСТКЕ ВАХ

В.И. Комов, И.М. Руткевич

Для электрического разряда дугового типа общепринятым условием стабилизации падающего участка стационарной ВАХ $U=U(J)$ с отрицательным дифференциальным сопротивлением $R_d = dU/dJ$ является критерий Кауфмана [1]:

$$R > |R_d|, \quad (1)$$

где R – величина балластной нагрузки. Критерий Кауфмана не учитывает тепловую инерцию разряда [2], рассматривая его как „черный ящик“ с заданной статической ВАХ. В настоящей работе обращается внимание на то, что совместный учет тепловой инерции и реактивных элементов внешней цепи может приводить к критерию стабилизации, отличающемуся от (1).

Рассмотрим электрический разряд, стабилизированный плоско-параллельными стенками, расстояние между которыми $2h$ много меньше их размеров как вдоль направления электрического поля E (ось z), так и поперек (ось y). Для описания малых отклонений температуры разряда от стационарного распределения используется уравнение теплопроводности с джоулевой диссипацией:

$$\rho c_p \frac{\partial T}{\partial t} = \kappa \Delta T + E^2 \sigma(T). \quad (2)$$

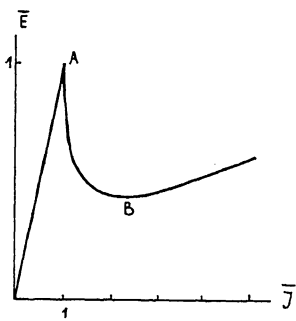


Рис. 1. ВАХ плоского разряда при $a = 10$ в безразмерных переменных

$$\bar{E} = E_0 \left[\frac{2x}{\sigma_0} (T_* - T_w) \right]^{-1/2}, \quad \bar{j} = \langle j \rangle h \left[2\sigma_0 x (T_* - T_w) \right]^{-1/2},$$

где $\langle j \rangle$ — плотность тока, усредненная по координате x ; T_w — температура стенок, стабилизирующих разряд.

Здесь плотность ρ , удельная теплоемкость при постоянном давлении c_p и коэффициент теплопроводности κ

считаются константами, поскольку их температурный рост является менее существенным, чем зависимость электропроводности σ от температуры.

В работе [3] были найдены стационарные решения уравнения (2) для произвольной зависимости $\sigma(T)$ и подробно исследованы для ступенчатой зависимости

$$\sigma(T) = \sigma_0 (T < T_*), \quad \sigma(T) = a\sigma_0 (T \geq T_*). \quad (3)$$

При $a > 1$ модель (3) обеспечивает существование падающего участка с отрицательным дифференциальным сопротивлением на ВАХ разряда (рис. 1). На падающем участке ВАХ пространственное распределение проводимости имеет ступенчатый характер, причем $\sigma = a\sigma_0$ при $|x| \leq x_* h$ и $\sigma = \sigma_0$ при $x_* h < |x| \leq h$. Граница высокопроводящей зоны $|x| = x_* h$ определяется рабочей точкой на ВАХ. При этом параметр x_* увеличивается от нуля в точке А до значения $x_*^B = \frac{a-1}{2a-1}$ в точке В.

Рассмотрим устойчивость разряда относительно одномерных возмущений температуры $\delta T(x,t) = \hat{T}(x,\lambda) \exp(\lambda t / \tau)$ и связанных с ними возмущений поля $\delta E(t) = \hat{E}(\lambda) \exp(\lambda t / \tau)$; где $\tau = \frac{\rho c_p h^2}{\kappa}$ характерное время релаксации температурного возмущения. Для инкремента перегретой неустойчивости имеем дисперсионное уравнение

$$Z_i(\lambda) + Z_e(\lambda) = 0, \quad (4)$$

которое выражает собой равенство нулю суммарного импеданса разряда $Z_i(\lambda)$ и внешней нагрузки $Z_e(\lambda)$.

Функция $Z_i(\lambda)$, входящая в (4), представляет собой внутренний импеданс разряда, задающий связь между малыми возмущениями тока и напряжения на разряде $\delta U = Z_i(\lambda) \delta J$ при их изменении по закону $\exp(\lambda t / \tau)$. Выражение для $Z_i(\lambda)$ может быть получено путем линеаризации уравнения (2) и решения соответствующей краевой задачи [4]:

$$Z_i(\lambda) = \frac{R_0 \varphi_1(\lambda)}{(1+(a-1)x_*)\varphi_1(\lambda) + 2b\varphi_2(\lambda)},$$

$$\varphi_1(\lambda) = \lambda \operatorname{ch} \sqrt{\lambda} - b \sqrt{\lambda} \operatorname{ch}(x_* \sqrt{\lambda}) \operatorname{sh}((1-x_*)\sqrt{\lambda}),$$

$$\varphi_2(\lambda) = a \operatorname{sh}(x_* \sqrt{\lambda}) \operatorname{sh}((1-x_*)\sqrt{\lambda}) + \operatorname{ch}(x_* \sqrt{\lambda}) \cdot (\operatorname{ch}((1-x_*)\sqrt{\lambda}) - 1), \quad (5)$$

$$b = \frac{a-1}{ax_*}, \quad R_0 = \frac{Lz}{2hL_y \sigma_0}.$$

В качестве внешней цепи рассмотрим последовательно соединенные балластную нагрузку R , индуктивность L , и параллельно подключенную к ним емкость C . При этом импеданс внешней цепи будет иметь вид:

$$Z_e(\lambda) = \frac{R}{1 + \lambda \frac{RC}{T}} + L \frac{\lambda}{T}. \quad (6)$$

Уравнение (4), с учетом выражений (5) и (6), имеет счетное множество корней (дискретный спектр). В случае чисто активной нагрузки ($L = C = 0$) в спектре имеется нулевое собственное значение $\lambda = 0$, если $R = |R_d|$ [4]. Если бы краевая задача, которая решалась для определения $Z_i(\lambda)$, была самосопряженной, как это имеет место в случае экспоненциальной зависимости $\zeta(T) \sim \exp(\alpha T)$ [5], то граница устойчивости определялась бы условием $\lambda_1 = 0$. При этом критерий устойчивости совпал бы с (1). Однако для произвольной и, в частности, для ступенчатой зависимости $\zeta(T)$ критерий (1) нуждается в проверке. Детальный анализ уравнения (4) показал, что условие (1) является критерием устойчивости к одномерным возмущениям при $L = C = 0$ при условии

$$\eta = \eta(x_*, a) = - \left. \frac{\partial \ln Z_i}{\partial \lambda} \right|_{\lambda=0} > 0. \quad (7)$$

Неравенство (7) выполняется вдоль большей части участка АВ, за исключением малой окрестности излома А. Аномальное поведение внутреннего импеданса $Z_i(\lambda)$ вблизи значения $x_* = 0$ обусловлено наличием разрыва у зависимости $\zeta(T)$ при $T = T_*$. Сглаживание этого разрыва может привести к исчезновению узкой области, где $\eta < 0$, так как при этом излом на ВАХ исчезнет, а величина R_d на падающем участке будет ограниченной. Поэтому в дальнейшем рассматривается основная часть падающего участка, на которой $\eta > 0$, и условие стабилизации разряда при $C = L = 0$ имеет вид (1).

Наибольший интерес представляет анализ устойчивости падающего участка ВАХ при $C \neq 0$, который в условиях краевой задачи ранее не проводился. При фиксированной рабочей точке на ВАХ устойчивость разряда определяется тремя безразмерными параметрами

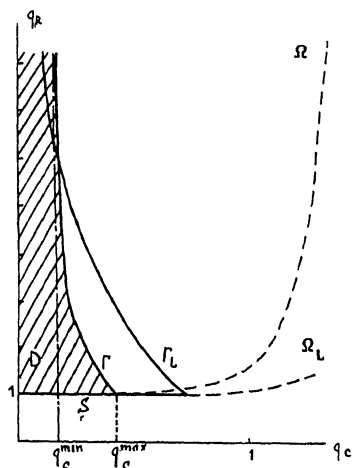


Рис. 2. Область устойчивости D плоского разряда (заштрихована) при $a = 10$, $x_* = 0.3$. Кривые Γ , Ω и Γ_L , Ω_L построены при $q_L = 0$ и $q_L = 0.3$ соответственно.

рами $q_R = \frac{R}{|R_d|}$, $q_c = \frac{C |R_d|}{\tau}$ и $q_L = \frac{|R_d|}{\tau}$. На плоскости параметров q_c и q_R область устойчивости D ограничена отрезком прямой $S = \{q_R = 1, 0 \leq q_c \leq q_c^{max} = q_L + \eta\}$, вдоль которого $\lambda = 0$, а сверху -

нейтральной кривой Γ , вдоль которой $Re \lambda = 0$, но $Im \lambda \neq 0$ (рис. 2). Кривая Γ имеет вертикальную асимптоту $q_c = q_c^{min}(q_L, \bar{j}, a)$. Вне области D разряд неустойчив, причем возникающая неустойчивость является аperiodической в области ниже пунктирной кривой Ω , показанной на рис. 2, и колебательной - в области, ограниченной кривыми Γ и Ω .

Таким образом, при наличии во внешней цепи емкости C разряд устойчив при любых $R > |R_d|$ только при достаточно малой величине $q_c \leq q_c^{min}$. Если емкость достаточно велика, то никакой выбор балластной нагрузки не позволит стабилизировать разряд. Наконец, если q_c лежит в интервале (q_c^{min}, q_c^{max}) , то условие (1) обеспечивает подавление неустойчивости до тех пор, пока точка с координатами (q_c, q_R) не окажется на границе области Γ . Если стабилизировать разряд за счет выбора управляющих параметров в области D при $q_c > q_c^{min}$ а затем плавно увеличивать балластное сопротивление R , то при переходе через кривую Γ можно возбудить колебательную неустойчивость. Нелинейная стадия такой неустойчивости может проявляться в виде автоколебаний высокопроводящего плазменного канала, аналогичных динамической контракции, наблюдавшейся в тлеющих разрядах [6].

С п и с о к л и т е р а т у р ы

- [1] Финкелбург В., Меккер Г. Электрические дуги и термическая плазма. М.: ИЛ, 1961. 370 с.
- [2] Недоспасов А.В., Хаит В.Д. Колебания и неустойчивости низкотемпературной плазмы. М.: Наука, 1979. 168 с.
- [3] Руткевич И.М., Синкевич О.А. // ТВТ. 1980. Т. 18. № 1. С. 27-39.

- [4] Артемов В.И., Руткевич И.М., Синкевич О.А. // ТВТ, 1980, Т. 18, № 6, С. 1126-1136.
- [5] Комов В.И., Руткевич И.М. XI Всес. конф. по генераторам низкотемпературной плазмы, Новосибирск, Тез. докл. 1989, Т. 1, С. 216-217.
- [6] Липатов Н.И., Минеев А.П., Мышенков В.И., Пашинин П.П., Прохоров А.М. Газовый разряд и волноводные молекулярные лазеры. Труды ИОФАН, Т. 17, М.: Наука, 1989. С. 3-52.

Поступило в Редакцию
7 марта 1991 г.

Письма в ЖТФ, том 17, вып. 8

26 апреля 1991 г.

05

© 1991

ЗАМЕДЛЕНИЕ ЗЕРНОГРАНИЧНОЙ ДИФФУЗИИ ^{63}Ni
В $\alpha\text{-Fe}$ В ПОСТОЯННОМ МАГНИТНОМ ПОЛЕ

А.В. Покоев, Д.И. Степанов,
И.С. Трофимов, В.М. Миронов

В настоящее время большое внимание уделяется исследованию влияния магнитных полей на диффузионные процессы в твердых телах [1, 2]. Хорошо известно, что диффузионная проницаемость границ зерен поликристалла может оказывать решающее влияние на его свойства, например, прочность, пластичность и др. [3], а сама зернограничная диффузия является весьма эффективным инструментом в исследовании строения границ зерен [4]. Данные о влиянии магнитных полей на диффузионную подвижность атомов по границам зерен в литературе отсутствуют. В то же время изучение зернограничной диффузии в условиях наложения внешнего магнитного поля может способствовать пониманию механизмов диффузии и выявлению новых возможностей практического использования диффузионных процессов.

В настоящей работе методом остаточной активности Грузина [5] впервые обнаружено влияние постоянного магнитного поля (ПМП) на зернограничную диффузию ^{63}Ni в $\alpha\text{-железе}$.

На отполированные торцевые поверхности цилиндрических образцов из армко-железа, отожженных предварительно в вакууме с целью получения крупного и равноосного зерна (~ 3 мм), электролитически наносился слой изотопа ^{63}Ni толщиной ~ 0.05 мкм. Приготовленные таким образом образцы отжигались в вакууме при